

# 机载激光测深试验

朱 晓 杨克成 李再光

(华中理工大学激光技术国家重点实验室 武汉 430074)

**摘要** 描述了机载激光测深实验系统的结构及性能指标,报道了机载激光测深实验结果。

**关键词** 飞机,激光,测量,海水深度

蓝绿激光比其它波长的电磁辐射有较强的海水穿透能力,可以利用它来测量海底地貌。机载激光发射系统对海面进行激光扫描,由海底反射回来的激光信号被机载接收系统探测出来,通过测量水深,从而绘制出海底地貌。国外,自1968年第一个机载激光海底测深系统研制成功后,美国、加拿大、瑞典、澳大利亚等国家一直在进行这方面的研究<sup>[1~4]</sup>。

## 1 机载激光测深实验系统

机载激光测深实验系统可分为5个子系统:调Q倍频YAG激光器、激光发射和接收光学系统、信号检测和处理系统、红外测高触发系统、窄带干涉滤波器。各系统的主要性能指标见表1。激光器输出的激光(含1.06μm和0.53μm两种波长),经准直光学系统、扫描镜射向海水,

表1 机载激光测深实验系统技术指标一览表

Table 1 The main parameters of the airborne laser bathymeter test system

green laser	emitting and receiving optical system	signal test and processing subsystem	IR trigger system	narrow band filter
wavelength: 532.07 nm	rectangle lattice	the dynamic range	IR power: 0.3 MW	band:
wavelength stability: ±0.05 nm	scanning, the whole view field: 0~25°	of compressing signal: 10 <sup>5</sup>	laser divergence: 4~40 mrad	0.27 nm wavelength
pulse width: 10 ns	scanning accuracy: ±1 m	AM bandwidth: 100 MHz	receiving view field: 10~50 mrad	(41°C): 532.07 nm
peak power: 2 MW	collimation system: M = 0.625×	sampling rate: 200 MHz	receiving diameter: 50 mm	calibre: 50 mm transmission:
repetition rate: 100 Hz	mode: 3.33×	resolution: 8 bit	the effective diameter of the detector: 2 mm	40% view field <5°
power stability: ±5%	polarization, TEM <sub>00</sub> field lens diameter: 200 mm	the minimum detectable power: <10 <sup>-9</sup> W	the minimum detecting power: <10 <sup>-6</sup> W	
continuous working time: 1 h	relative aperture: 1/6	weight: 35 kg		
weight: 15 kg	instantaneous view field: 50 mrad	volume: 500×500 mm <sup>3</sup>		
volume: 200×200×600 mm <sup>3</sup>				

其中  $1.06 \mu\text{m}$  激光被海面反射回来,由红外测高系统接收,探测器为雪崩二极管,触发距离选通电路,控制绿光探测器光电倍增管的增益。海底反射的绿光,由绿光光学系统接收,经窄带干涉滤波器滤掉噪声,探测器为门控光电倍增管,这是由于激光测深的信号动态范围一般在  $10^5 \sim 10^6$ ,为克服海面和后向散射回波的影响,必须采用变增益或门控的探测方法。最后是波形记录、信号处理和显示系统。

## 2 机载激光测深实验

通过上飞机前的多次船池、船载海上实验,使机载激光测深试验系统的整体性能和抗干扰、抗高温、抗振动的能力都有很大提高。1996年4月23日~5月9日在中国南海亚龙湾海域进行了机载激光测深实验。实验海区的海底地势平坦,水深在  $80 \sim 100 \text{ m}$ ,实验用飞机是直升机,该直升飞机可以高低飞行,速度可快可慢,有利于激光测深的研究。飞行实验前,利用船只测量了实验海区的圆盘透明度,圆盘透明度为  $14 \sim 24 \text{ m}$ ,海水的衰减系数为  $0.2 \sim 0.3 \text{ m}^{-1}$ 。

图2(a)~(f)是一组连续测到的海底回波,图3是将图2的波形放在同一坐标中,加以比较,可以看出海底的起伏。图1是没有海底回波的测量波形。在上述实验结果图中,曲线上

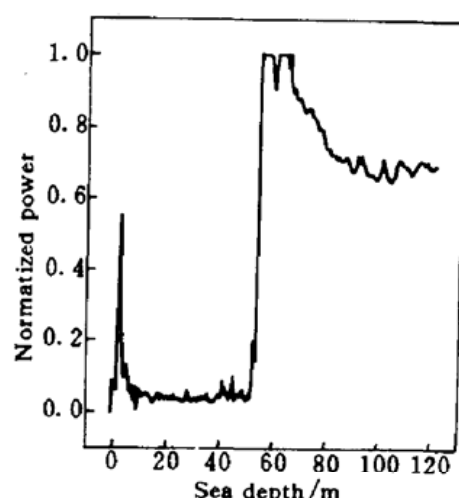


图1 没有海底回波的测量波形

Fig. 1 The waveform of the sea backscattering, without showing an echo from the sea bottom

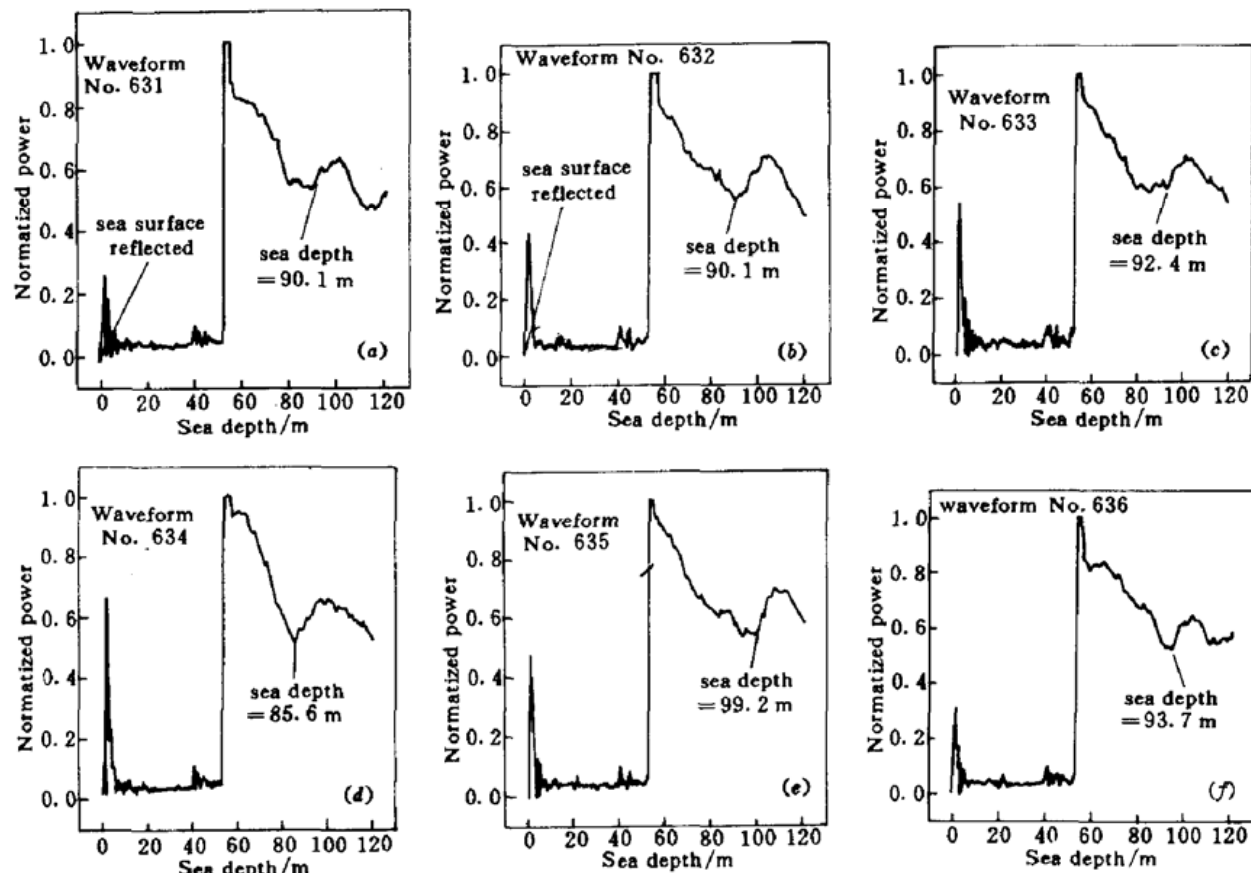


图2 连续测到的6个海底回波波形

Fig. 2 The reflected waveforms from the sea bottom reflected

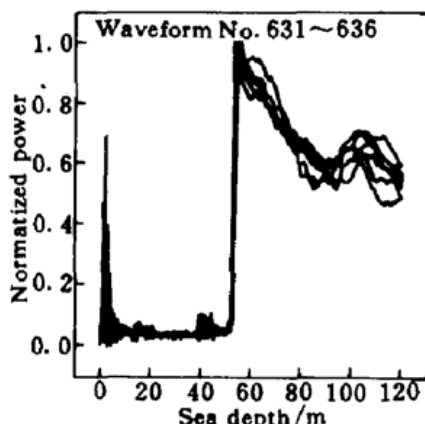


图 3 6 个波形的比较

Fig. 3 comparison of six waveforms

第一个脉冲峰是海面回波,探测系统在水深 50 m 以前处在低增益,因而,曲线上水面峰到水深 50 m 是一条直线,当激光脉冲传输到水下 50 m 时,绿光探测器光电倍增管处在高增益,曲线在 50 m 处幅度增加,随后是探测到的水深 50 m 后向散射及海底回波信号。

获得上述波形的机载激光测深系统参数为:飞机高为 150 m,飞行速度 200 km/h(55 m/s),激光重复频率为 100 Hz。因而,上述 5 个深度的海底直线距离为  $5 \div 100 \times 55 = 2.75$ (m)。从海底 6 个点的深度比较,可知,此 2.75 m 长的海底,深度都在 100 m 以内(以海底回波上升沿的起点计算),且海底有一定的起伏。

### 3 小 结

- (1) 机载激光测深实验说明利用激光可以测量近岸海水的深度,在此次机载激光测深试验中探测到水下 90 m 的海底回波信号。
- (2) 通过机载激光测深试验,进一步了解了机载激光测深系统需解决的关键技术。
- (3) 初步掌握了黄昏和黑夜、云层、飞机高度、光束发散角、探测器灵敏度等对探潜能力的影响及机载激光测深回波的信号特性、海水后向散射及噪声特性。为进一步研究机载激光测量海底地貌系统打下了良好的基础。

### 参 考 文 献

- 1 Gary C. Guenther, Lowell R. Goodman. Laser applications for near shore nautical charting. *SPIE, Ocean Optics V*, 1978, 160 : 174~183
- 2 Gary C. Guenther, Paul E. LaRocque, W. Jeff Lillycrop. Multiple surface channels in SHOALS airborne lidar. *SPIE, Ocean Optics XII* 1994, 2258 : 422~430
- 3 Ove Steinvall, Kurt Koppari, Ulf Karlsson. Airborne laser depth sounding system aspects and performance. *SPIE, Ocean Optics XII* 1994, 2258 : 392~412
- 4 M. F. Penny, R. H. Abbot, D. M. Phillips et al.. Airborne laser hydrography in Australia. *Appl. Opt.*, 1986, 25(13) : 2046~2058

## The Experiment of Airborne Laser Bathymeter

Zhu Xiao Yang Kecheng Li Zaiguang

(National Laboratory of Laser Technology, H. U. S. T., Wuhan 430074)

**Abstract** An experimental airborne laser bathymeter has been developed and a field trial has been conducted. The Q-switched and frequency-doubled Nd:YAG laser output is of 100 Hz pulse repetition rate, 2 MW peak power, and 8 ns pulse width. The green light receiving telescope is transmissive with a 1400 mm focal length and 200 mm aperture. The varying-gain control of the PMT and logarithmic amplifier are used to compress the  $10^5$  dynamic range of received signals. The system was installed in a helicopter. The experimental results are described in the paper.

**Key words** airborne, laser, measurement, sea depth